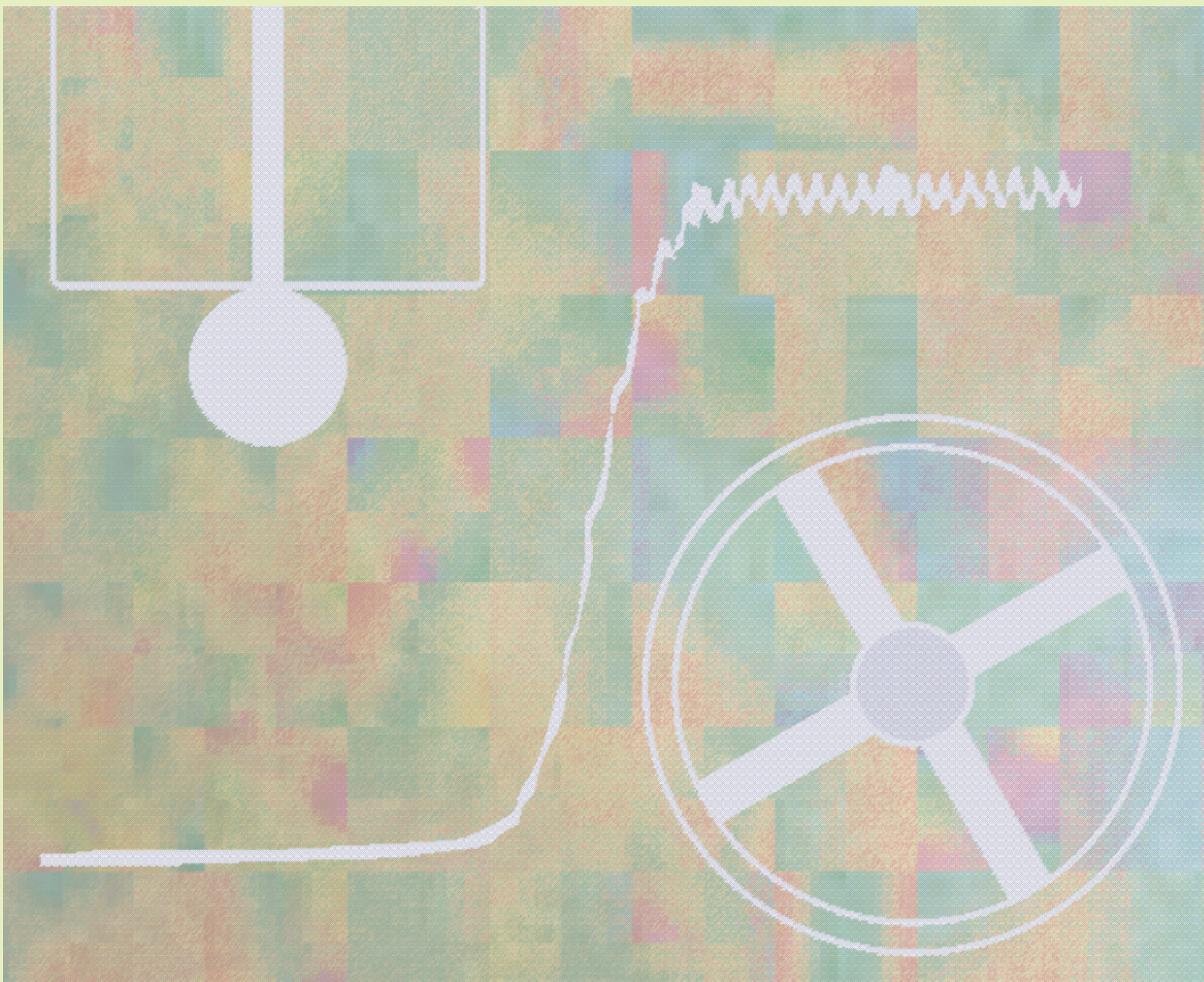


# ぶんせき ⑨

**Bunseki 2023**

The Japan Society for Analytical Chemistry



# ESIイオン源一体型 マイクロチップ・キャピラリー電気泳動装置

## ZipChip™

### お使いのMSが高速CE-ESI/MSになります！

ZipChip™プラットフォームは、キャピラリー電気泳動 (CE) とエレクトロスプレーイオン化 (ESI) を一つのマイクロ流体チップに統合し質量分析を行うシステムです。

広範囲の生体試料の調製、分離、イオン化を迅速に行い試料を質量分析計へ直接導入可能です。

CE/ESIチップはユニット内にクリップで装着するだけです。分析時間は通常3分程度で完了し、ほとんどのLCよりも短時間でより良い分離品質を得ることができます。

シンプルなワークフローと複数のキットオプションにより、多数のバイオセラピー、メタボローム、およびプロテオミクスのアプリケーションをサポートします。



### アプリ別に便利な分析キットが用意されています。

- ペプチド用
- インタクトタンパク質用
- ネイティブタンパク質用
- 代謝物 (アミノ酸) 用
- オリゴ核酸用

### 下記メーカーの質量分析計でご使用いただけます。

- ThermoFisher Scientific社
- Bruker社
- SCIEX社

(対応モデル名・型式につきましては別途ご照会ください。)

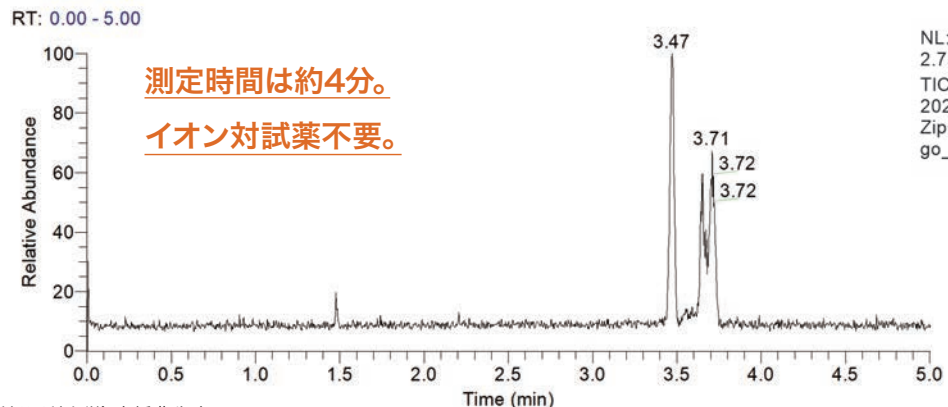
### ZipChip™の特徴

- 迅速な分析時間 (ほとんどの分析時間は2~3分)
- 高感度・高安定のナノレベルスプレー
- 少ない試料消費 (ピコグラム~ナノグラム)
- オンラインの脱塩により、サンプル調製が最小限

### 測定例

#### オリゴ核酸のほぼ前処理不要・迅速分析 (校正用試薬 12,20,30merの分析)

オリゴ核酸は(U)HPLCの金属配管などに吸着し易いため、核酸医薬品の分析にはバイオイナートな(U)HPLCが用いられますが、ZipChipではそのような配慮は一切不要であり、簡便で迅速な分析が可能です。



データ提供：株式会社プレッパーズ (浜松医科大学) 高橋豊先生



輸入総販売元

株式会社 エス・ティ・ジャパン  
<http://www.stjapan.co.jp>

東京本社 /  
〒103-0014 東京都中央区日本橋蛸殻町1-14-10  
TEL: 03-3666-2561 FAX: 03-3666-2658

大阪支店 /  
〒573-0094 大阪府枚方市南中振1-16-27  
TEL: 072-835-1881 FAX: 072-835-1880

## セミ分取超臨界流体クロマトグラフ

Semi Preparative Supercritical Fluid Chromatograph

# Nexera UC Prep



## これまでになかった高性能、これまでになかった柔軟性

### ■ 卓越した回収率を実現する独創の技術

独自の気液分離技術\*を採用し、CO<sub>2</sub>気化時の溶出液飛散による回収率低下を抑制して揮発性成分でも高い回収率を実現。

\*LotusStreamセパレーター

### ■ 分取ワークフローに沿った簡単操作

直感的な分取設定を可能とする専用ソフトウェアは、熟練度によらず、狙ったピークの確実な分取を支援。

### ■ コンパクトなベンチトップシステム

外付けの冷却装置(チラー)不要のコンパクトなベンチトップCO<sub>2</sub>ポンプが、省スペース設計を実現。また、1台で幅広い流量に対応可能。

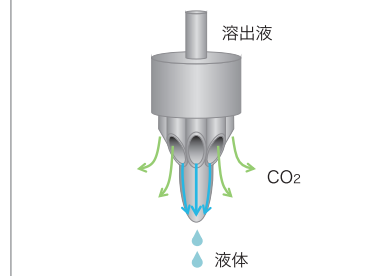
### ■ 分析SFCシステムに分取機能を追加

分析スケールのSFCにフラクションコレクターを追加することで、1台で条件検討から分取までをシームレスに実行。

1%リナロールの回収率

方式	回収率 (%)
従来方式	78.0
LotusStreamセパレーター	96.7

LotusStream™セパレーター (特許取得済み)



BAS

# 光学式酸素モニターシステム

基本機能の光学式酸素モニタリングに加えて、温度およびpH(一部機種のみ)の同時測定が可能

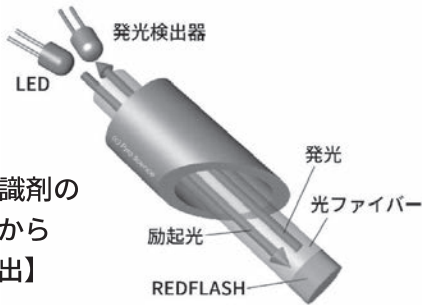
BAS FireSting



- 一台で最大4チャンネル対応。項目の組合せは自由
- 気相および液相での測定に利用できます
- 酸素濃度測定は広い濃度範囲で対応可能
- 非接触型など様々なタイプのセンサーをラインナップ



FireSting O2-C 酸素モニター(4ch)



【REDFLASH標識剤の発光寿命検出から酸素濃度を算出】



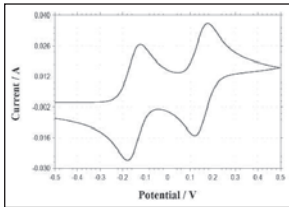
【センサー付きバイアル内部の酸素濃度を外側から測定可能】

# 分光電気化学測定

BAS SEC2020

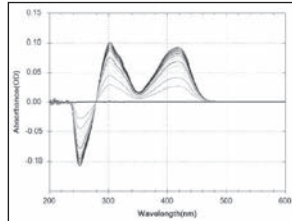


## CV測定



※測定データはイメージです。

## 吸光度測定



+

分光電気化学測定とは「分光法」と「電気化学的手法」を組み合わせた測定方法です。

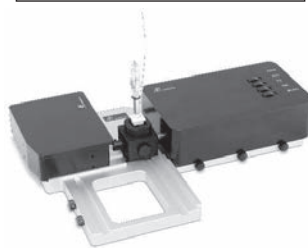
同時に測定を行うことで、より正確な実験データが得られます。

測定装置からセルなどの消耗品まで、すべてBASの開発品のため初めてのお客様でも簡単に測定が行えます。

## 新登場



モデル3325  
バイポテンショスタット



SEC2020スペクトロメーターシステム

● 製品の外観、仕様は改良のため予告なく変更される場合があります。

## 予算申請などですぐ見積書が必要なときに!

インターネット環境があればいつでもご自身でご確認いただける

# WEB見積書サービスが便利です!!



BAS ビー・イー・エス株式会社

本社 〒131-0033 東京都墨田区向島 1-28-12

東京営業所 TEL: 03-3624-0331 FAX: 03-3624-3387

大阪営業所 TEL: 06-6308-1867 FAX: 06-6308-6890

実験用途に適したサンプリングアクセサリも豊富にラインアップしています。詳しくはホームページまで!!

BAS 光ファイバー



製品情報・技術情報などBASの最新情報はメールニュースで随時配信しております。配信ご希望の方はお気軽にお問合せ下さい ⇒ E-mail: sp2@bas.co.jp

各種標準物質 (RM, CRM)

お探しの標準物質がございましたらお申しつけください！

PFAS関連 (EPA 1633対応など)、RoHS (MCCPs, TBBPA)、REACH規則 (PAHs) など取り扱っております。  
核燃料関連 (ウラン、トリウム、プルトニウム)、環境中放射能標準物質などもございます。

ICP-OES/ICP-MS AAS/IC	固体発光分光分析 蛍光X線/ガス分析	物理特性/熱特性	有機標準物質
<ul style="list-style-type: none"> <li>・無機標準液/オイル標準液</li> <li>・鉄・非鉄各種金属</li> <li>・工業製品 (石炭、セメント、セラミックス等)</li> <li>・環境物質 (土壌、水、堆積物、岩石等)</li> <li>・乳製品、魚肉、穀物等</li> </ul>	<ul style="list-style-type: none"> <li>・鉄・非鉄各種金属</li> <li>・工業製品 (石炭、セメント、セラミックス等)</li> <li>・環境物質 (土壌、水、堆積物、岩石等)</li> <li>・(乳製品、魚肉、穀物等)</li> </ul>	<ul style="list-style-type: none"> <li>・X線回折装置用 Si powder, Si nitride, 等</li> <li>・粒度分布計用</li> <li>・熱分析用 DSC (In, Pb, 等)</li> <li>・粘度測定用</li> <li>・膜厚分析用</li> </ul>	<ul style="list-style-type: none"> <li>・製薬標準物質 SPEX, LGC, EP, USP, TRC, MOLCAN</li> <li>・認証有機標準液</li> <li>・ダイオキシン類/PCB</li> <li>・有機元素計用標準</li> </ul>

SPEX社 前処理機 (フリーザーミル・ボールミル)

凍結粉碎機 (Freezer/Mill)

粉碎容器にインバクター (粉碎棒) とサンプルを一緒に入れ、液体窒素にてサンプルを常時凍結させて運転を開始します。

インバクターを磁化させ、往復運動させる事による衝撃でサンプルを粉碎します。  
やわらかいサンプルや熱に弱い生体サンプルに最適です。

〈サンプル例〉プラスチック、ゴム、生体サンプルなど、  
〈使用例〉ICP, XRF, GC, LCの前処理 DNA/RNAの抽出の前処理

ボールミル (Mixer/Mill)

SPEX独自の8の字運動により、効率的な粉碎、混合が可能。  
サンプルに合った粉碎容器、ボールを選択可能。

〈サンプル例〉岩石、植物、錠剤、合金など  
〈使用例〉ICP, XRFの前処理 メカニカルアロイイング



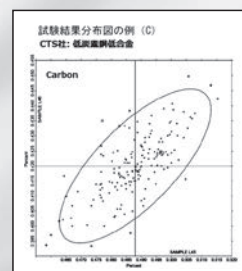
海外技能試験輸入代行サービス

技能試験とは・・・

技能試験提供機関が提供する未知サンプルを分析することによって、分析者の分析技能を測るテストです。  
分析能力に関して中立的な評価が得られ、国内外の参加試験所と分析能力の比較が出来ます。  
国内では毒物劇物取締法など特殊な法令に沿った通関手続きが必要でございます。  
当社はコンプライアンスを遵守し、ノウハウを活かし、輸入の代行を致します。

〈サンプル例〉

金属材料中元素分析、フタル酸エステル類、物性試験 (引張・曲げ・硬さ)  
ニッケル溶出試験、医薬品、化粧品、環境分野、オイル、食品、玩具規制専用試験など



YouTubeチャンネル【西進商事公式】

弊社取り扱い製品の情報を公開中です。(順次アップロード予定)



**SEISHIN**

標準物質専門商社

**西進商事株式会社**

<https://www.seishin-syoji.co.jp/>

本社 〒650-0047 神戸市中央区港島南町1丁目4番地4号  
TEL.(078)303-3810 FAX.(078)303-3822  
東京支店 〒105-0012 東京都港区芝大門2丁目12番地7号 (RBM芝パークビル)  
TEL.(03)3459-7491 FAX.(03)3459-7499  
名古屋営業所 〒450-0003 名古屋市中村区名駅南1丁目24番地30 (名古屋三井ビル本館)  
TEL.(052)586-4741 FAX.(052)586-4796  
北海道営業所 〒060-0002 札幌市中央区北二条西1丁目10番地 (ピア2・1ビル)  
TEL.(011)221-2171 FAX.(011)221-2010

## リサーチグレードでありながら、 ダウンサイジングを追求

FT/IR-4X は、小型の筐体でありながら堅牢性を誇り、性能、機能、拡張性はリサーチグレードクラスであり、高分解、高 S/N、高感度検出器、測定波数拡張、マルチチャンネル顕微鏡、ラピッドスキャンに対応しています。試料室は大型装置と変わらない幅 200 mm あり、サードパーティー製を含む大型付属品も使用できます。



Fourier Transform Infrared Spectrometer  
フーリエ変換赤外分光光度計

# FT/IR-4X

## 「複合分析」が手軽に

### 赤外 × ラマン複合分析システム

異物の定性分析に効果的な FTIR とラマン分光光度計の複合分析が、低価格でコンパクトになりました。  
赤外／ラマン測定ともに前処理は不要で、試料を動かさずに簡単な操作で測定手法を切換えることができます。



## ラマン測定を、手の中に。

PR-1s/PR-1w は、手のひらに収まる超小型ラマン分光光度計です。測定波数範囲とレーザー出力の異なる 2つのモデルをラインアップしています。測定対象の自由度が高く、専用試料室やバイアルホルダーも用意しており、シンプルで手軽なラマン測定を実現します。



Palmtop Raman Spectrometer  
パームトップラマン分光光度計

# PR-1s/PR-1w

光と技術で未来を見つめる

# 日本分光

日本分光株式会社

〒192-8537 東京都八王子市石川町 2967-5  
TEL 042(646)4111 (内)  
FAX 042(646)4120

日本分光の最新情報はこちらから

<https://www.jasco.co.jp>

日本分光HP



# JASCO

Jasco は日本分光株式会社の登録商標です。  
本広告に記載されている装置の外観および各仕様は、  
改訂のため予告なく変更することがあります。

高分子材料分析の強力な戦力！

# マルチショット・パイロライザー EGA/PY-3030D

## 未知試料へ多面的にアプローチ

- 室温から1050°Cまでの幅広い温度領域を任意設定
- 発生ガス分析や瞬間熱分析などの組み合わせにより未知試料を多面的に分析

## 前処理なしで迅速に分析

- あらゆる形態のポリマー試料を煩雑な前処理なしで簡単・迅速に分析

## 高性能で高信頼

- サーモグラムとパイログラムの高い再現性を保証

## 豊富な周辺装置

- 目的に合わせて選べる周辺装置で分析業務をサポート

メンテナンス性が向上！  
より使いやすくなった

### 自動分析用オートサンプラー AS-2020E

ライブラリー登録数が大幅増！  
ポリマー・添加剤を瞬時に同定できる

### マススペクトル検索ソフトウェア F-Search

簡単操作でパワフル！  
各種試料の粉碎・攪拌・分散に最適な

### 卓上可搬型 凍結粉碎装置 IQ MILL-2070

微量ポリマーの検出感度が大幅向上！  
スプリットレス熱分解用オプション装置  
MFS-2015E



製品情報

## オンデマンドセミナー

過去に開催したオンラインセミナーを「オンデマンドセミナー」として公開中です。  
弊社ウェブサイトの会員ページにログインするだけで、いつでもご覧いただけます。

- 熱分解GC分析の基礎
- F-Search ポリマー分析データ解析
- パイロライザーとオートショット・サンプラーのメンテナンス ほか



オンデマンドセミナー

フロンティア・ラボ 株式会社

[www.frontier-lab.com/jp](http://www.frontier-lab.com/jp) [info@frontier-lab.com](mailto:info@frontier-lab.com)

高性能の熱分解装置と金属キャピラリーカラムの開発・製品化に専念して、洗練された製品をお届けしています

# 持続可能な将来を支える日立ハイテクの先端機器

HITACHI High-Tech's advanced instruments support sustainable future.

自然環境と社会発展が共存するサステナブル社会の構築を目指し、  
私たち日立ハイテクは、機器分析で、  
“研究開発”、“産業製造”、“環境保全”を支援します。



◎ 株式会社 日立ハイテク      ◎ 株式会社 日立ハイテクサイエンス

本社 〒105-6409 東京都港区虎ノ門一丁目17番1号 虎ノ門ヒルズ ビジネスタワー 電話03-3504-6111

インターネットでも製品紹介しております。

URL [www.hitachi-hightech.com/jp/science/](http://www.hitachi-hightech.com/jp/science/)

# 標準物質



標準物質とは

分析機器の校正、性能向上  
分析技術の進歩、確立  
分析対象物の値づけ

に用いられます。

より正確な分析データを求めるには、高い信頼性のある標準物質を御使用下さい。

標準物質は以下の分野に数多くあります。

- |            |             |          |
|------------|-------------|----------|
| ・環境、生体、食物  | ・ガラス、セラミックス | ・粘度、密度   |
| ・石炭、石油(燃料) | ・有機、無機分析    | ・比表面積、粒径 |
| ・残留農薬      | ・薬局方試料、臨床化学 | ・X線分析各種  |
| ・金属、鉱石、鉱物  | ・抗血清        | ・放射能、核物質 |
| ・ガス分析      | ・高分子(ポリマー)  | ・光学分析各種  |
| ・安定同位体     | ・熱分析各種      | ・度量衡     |

## ☆世界の代表的な標準物質製造・作成者一覧☆

NIST(NBS)/NATIONAL INSTITUTE OF STD. & TEC.	標準物質一般
LGC/LABORATORY OF THE GOVERNMENT CHEMIST.	標準物質一般
BCR/COMMUNITY BUREAU OF REFERENCE	標準物質一般
BAS/BUREAU OF ANALYSED SAMPLES LTD.	金属
SP <sup>2</sup> /SCIENTIFIC POLYMER PRODUCTS INC.	ポリマー
PL/POLYMER LABORATORIES LTD.	ポリマー
μM/MICRO MATTER CO.	けい光X線用薄膜
IAEA/INTERNATIONAL ATOMIC ENERGY AGENCY	生体・環境
NANOGEN/NANOGENS INTERNATIONAL	農薬(溶液、原体)
CANMET/CANADA CENTRE FOR MINERAL & ENERGY TEC.	鉱石・鉱物
NRCC/NATIONAL RESEARCH COUNCIL CANADA	水質環境用標準物質
ONL/OAK RIDGE NATIONAL LABORATORY	安定同位体
KENT/KENT LABORATORYS	抗血清
DSC/DUKE SCIENTIFIC CORPORATION	球型、表面積
EP/EUROPEAN PHARMACOPOEIA	医薬品
USP/U.S.P. REFERENCE STANDARDS	医薬品
BP/BRITISH PHARMACOPOEIA	医薬品
NIES/国立環境研究所	環境・生体

ここに記載されている他にも、多数の標準物質を取り扱っております。  
カタログ及び資料希望、お問い合わせについては下記へご連絡下さい。

**GSC** 株式会社 ゼネラルサイエンスコーポレーション

〒170-0005 東京都豊島区南大塚3丁目11番地8号 TEL.03-5927-8356 (代) FAX.03-5927-8357  
ホームページアドレス <http://www.shibayama.co.jp> e-mail アドレス [gsc@shibayama.co.jp](mailto:gsc@shibayama.co.jp)

## 【ア行】

(株)アmenaテック…………… A5  
(株)エス・ティ・ジャパン…………… 表紙 4

## 【サ行】

(株)島津製作所…………… 表紙 2  
西進商事(株)…………… カレンダー裏

(株)ゼネラルサイエンス  
コーポレーション…………… A4

## 【ナ行】

日本分光(株)…………… A1

## 【ハ行】

ビー・エー・エス(株)…………… 表紙 3

(株)日立ハイテクサイエンス…………… A3  
フロンティア・ラボ(株)…………… A2

製品紹介ガイド…………… A6～7

# RENEWAL

AmenaTech

## 高周波溶融装置 ビード&フューズサンプラ AT-5000

高周波誘導加熱を利用した、蛍光 X 線分析用ガラスビードの作成や  
ICP/AA 分析のアルカリ融解を行う試料前処理装置

従来の TK-4100 とプロコンを一体化し  
操作パネルをタッチパネルにしてリニューアル!

### 【主な機能】

- ・多段階加熱
- ・昇温スピードをコントロール
- ・るつぼ揺動回転 (るつぼ内溶液の攪拌) 時の角度や  
回転スピードを自由に設定
- ・流量計を新たに搭載 (冷却水の流れを目視)



株式会社アmenaテック

〒224-0003

横浜市都筑区中川中央 2-5-13 メルヴェーサガノ 401

TEL : 045-548-6049 e-mail : info@amena.co.jp <http://www.amena.co.jp>

## 次世代蓄電池電解液開発に役立つ 分析手法と溶液中の分子論的描像

リチウムイオン電池や燃料電池は車載用電源としての用途が拡大しつつある。車載用電源としての普及に伴い、高安全性および高エネルギー密度が実現できる次世代蓄電池の開発が進められている。イオン液体や超濃厚電解質溶液は次世代蓄電池電解液として期待されており、電解液中の液体構造および電極反応は起電力など電池性能に影響を与える。本稿では、イオン液体や超濃厚電解質溶液の液体構造・スペシエーション分析および電極反応についてその分析手法も交えて概説する。

渡 辺 日香里

### 1 はじめに

イオン液体はイオンのみからなり、室温で液体の物質群であり、難燃性、不揮発性といった特徴をもち、i) 非プロトン性、ii) プロトン性、iii) 無機および iv) 溶媒和（キレート）イオン液体の4種類に分類される<sup>1)</sup>。特に、解離可能な水素をもつプロトン性イオン液体は燃料電池電解質として、溶媒和イオン液体はリチウムイオン電池電解液として研究がされている。渡邊らは、溶媒であるグライム ( $G_n$ :  $\text{CH}_3\text{O}-(\text{CH}_2\text{CH}_2\text{O})_n-\text{CH}_3$ ,  $n=3, 4$ ) とリチウム塩の等量混合物は室温で液体であり、 $\text{Li}^+$ にグライムが溶媒和した溶媒和イオン液体を与えることを報告している。また、水和金属イオンの溶融塩は水和溶融塩としてよく知られている。例えば、水和金属イオンの硝酸塩の多くは低融点を与え、 $\text{LiNO}_3 \cdot 4\text{H}_2\text{O}$ の融点は約  $30^\circ\text{C}$  である。最近、 $21 \text{ mol kg}^{-1}$ の高濃度  $\text{LiN}(\text{SO}_2\text{CF}_3)_2$  水溶液 ( $\text{LiN}(\text{SO}_2\text{CF}_3)_2 : \text{H}_2\text{O} = 1 : 2.6$  by mol) が室温で液体であり、その電位窓は水の電位窓 ( $1.23 \text{ V}$ ) よりも広いことから、リチウムイオン電池電解液として利用可能であることが報告された<sup>2)</sup>。このような高濃度の  $\text{Li}$  塩溶液は超濃厚電解質溶液と呼ばれている。

近年、低炭素社会の実現への取り組みとして、自動車の電動化が進められており、電気自動車 (EV)、プラグインハイブリッド車 (PHEV)、ハイブリッド車 (HEV) 等の電動車の普及が拡大しつつある。こうした電動車の電源としてリチウムイオン電池や燃料電池が用いられているが、さらなる安全性およびエネルギー密度の向上を目指して、次世代蓄電池の開発が盛んに行われており、イオン液体や超濃厚電解質溶液はその電解液として期待

されている。

これらの電解液は従来、蓄電池電解液として用いられてきた  $1 \text{ mol dm}^{-3}$  程度の電解液と比べて、非常に塩濃度が高く、従来の希薄電解質溶液に基づく理論では説明できない現象が報告されている。

著者は、産業を支える分析化学の観点から、次世代蓄電池電解液として期待されるとともに、学術的にも不明な点が多い超濃厚電解質溶液について、そのスペシエーション分析および蓄電池中の電極/電解液界面反応解明に取り組んできた。本稿では、最近の著者の研究を中心に概説する。

### 2 イオン液体中の分子/イオン間相互作用

#### 2.1 擬プロトン性イオン液体

プロトン性イオン液体  $[\text{BH}^+][\text{A}^-]$  は酸と塩基の等量混合で得ることができる。著者らは *N*-メチルイミダゾール ( $\text{C}_1\text{Im}$ ) と酢酸 ( $\text{CH}_3\text{COOH}$ ) の等量混合液体が有意な電気伝導性を示すにもかかわらず、液体中には電気的中性分子が大過剰存在することを明らかにした<sup>3)</sup>。著者らは、このような液体を擬プロトン性イオン液体と呼び、プロトンジャンプのような特異的なイオン伝導機構が働いていることを提案している。プロトンジャンプ機構の発現には水素結合ネットワーク構造の形成、すなわち、水素結合を形成する分子間の相互作用が重要な役割を果たす。著者は分子間・イオン間の相互作用を評価する方法として、同位体置換 Raman 分光法を開発した。

#### 2.2 同位体置換 Raman 分光法

振動スペクトルの基準振動数の同位体効果は、調和振動子モデルで容易に理解でき、例えば、軽水素を重水素で置換すると、重水素が関与する振動モードは低波数シフトする。同位体を置換した官能基の振動スペクトルが

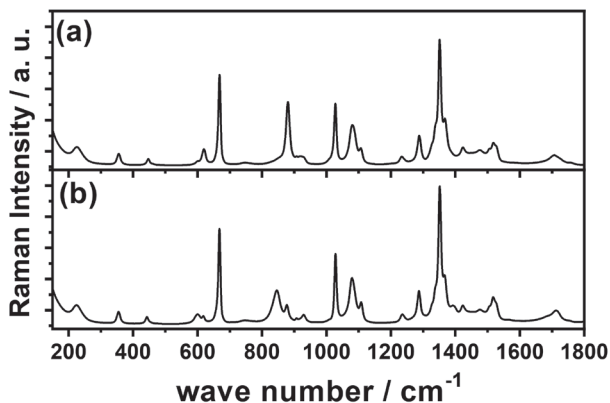


図1 C<sub>1</sub>Im-CH<sub>3</sub>COOH (a) と C<sub>1</sub>Im-CH<sub>3</sub>COOD (b) の Raman スペクトル

シフトするため、構造同定に有用な方法であるが、著者らは、同位体効果を利用して、分子・イオン間の相互作用の評価を行った。

同位体置換 Raman スペクトルは軽水素からなる試料の Raman スペクトルと重水素からなる試料の Raman スペクトルの差として定義する。C<sub>1</sub>Im-CH<sub>3</sub>COOH 系擬プロトン性イオン液体について、酢酸の解離可能な水酸基水素を重水素化した以外は全く同じ組成の試料を調製し、得られた Raman スペクトルを図1に示す。水酸基水素を置換することで、620 および 880 cm<sup>-1</sup> 付近の酢酸由来の Raman バンドに大きな変化が見られた。同位体効果をより詳細に確認するために同位体置換 Raman スペクトルを求めた。

### 2・3 同位体置換 Raman スペクトル

図2に同位体置換 Raman スペクトル (= 重水素試料の Raman スペクトル - 軽水素試料の Raman スペクトル)

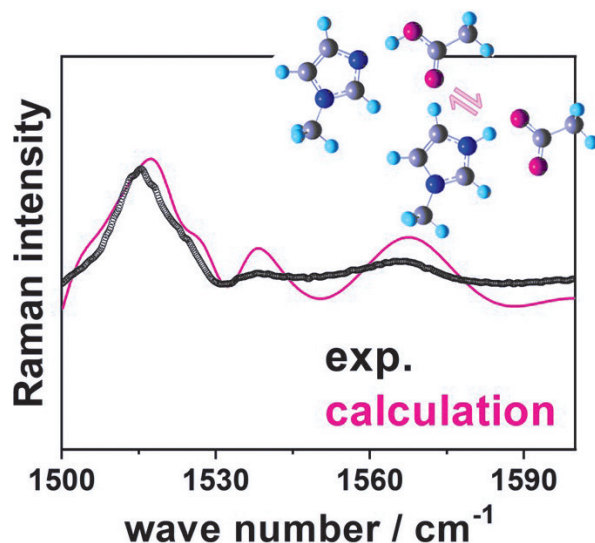


図2 実験 (黒) および計算 (赤) 同位体置換 Raman スペクトルと分子会合体およびイオン対の分子構造

を示す。同位体効果がある場合、振動モードがシフトするため、その差スペクトルは微分様のシグナルを与える。1500~1600 cm<sup>-1</sup>の波数範囲は C<sub>1</sub>Im の指紋領域であり、酢酸に由来する Raman バンドは現れない。しかし図2から明らかなように、C<sub>1</sub>Im の指紋領域においても微分様の差スペクトルが得られ、同位体置換された水酸基と C<sub>1</sub>Im が相互作用していることを示唆している。著者らは最近、C<sub>1</sub>Im-CH<sub>3</sub>COOH 系擬プロトン性イオン液体中の各化学種の Raman 散乱因子と、それらの生成分率を明らかにした。重水素試料の Raman 散乱因子についても決定した。詳細は割愛するがこれによれば、C<sub>1</sub>Im...HOOCCH<sub>3</sub> 分子会合体と C<sub>1</sub>HIm<sup>+</sup>...<sup>-</sup>OOCCH<sub>3</sub> イオン対は溶液中にそれぞれ 70 および 30 % 存在する<sup>4)</sup>。得られた散乱因子と生成分率から Raman スペクトルが計算できる。計算から求めた Raman スペクトルを用いて、同位体置換 Raman スペクトルが求められた(図2)。計算スペクトルは実験をよく再現しており、擬プロトン性イオン液体中では C<sub>1</sub>Im と CH<sub>3</sub>COOH 間で水素結合を形成しているだけでなく、プロトン移動によりイオン間相互作用があることが明らかになった。このように同位体置換 Raman 法は差スペクトルをとるだけで、分子内相互作用だけでなく、分子あるいはイオン間相互作用の観測できる強力な手法だと考える。

## 3 超濃厚電解液中のスぺンション分析

はじめに述べたように、超濃厚電解質水溶液は、水の電位窓を超えてリチウムイオン電池が駆動する。リチウムイオン電池の安全性向上の観点からも電池の実現が強く期待されている。超濃厚電解質水溶液では Li<sup>+</sup> との相互作用により、水の酸化分解が抑制されると提案されている。加えて、電解液が分解して生成する安定な SEI 皮膜により電解液の還元分解が抑制され、Li<sup>+</sup> の電極中への挿入・脱離反応が起こるため電池が駆動すると考えられている。酸化分解抑制および SEI 形成には液体構造、特に Li<sup>+</sup> 局所構造が重要な役割を果たす。著者らは、超濃厚 LiTFSA (LiN(SO<sub>2</sub>CF<sub>3</sub>))<sup>2)</sup> 水溶液中の液体構造および Li<sup>+</sup> 局所構造解析を行った。

### 3・1 同位体置換中性子回折法

実験的に液体構造を決めるには、中性子や X 線散乱実験が有用である。特に中性子は、液体を構成する原子の原子核により散乱されるため、注目する原子の同位体比だけ異なり、他の組成が全く等しい試料を用いて測定を行い、これらの差をとれば、注目する原子に関する部分動径分布関数のみを得ることができる。これを同位体置換法と呼ぶ。<sup>67</sup>Li および H/D 同位体置換法を用いた中性子散乱実験は、超濃厚 LiTFSA 水溶液中の Li<sup>+</sup> 局所構造および水素結合に関する情報を得るのに非常に強力である。

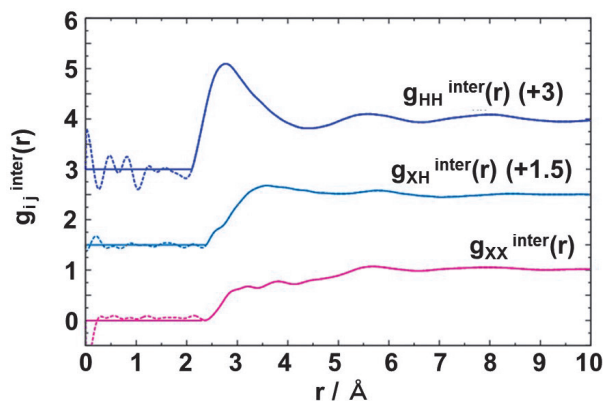


図3 超濃厚 LiTFSA 水溶液の分子間 H-H, X-H および X-X 部分動径分布関数

図3に同位体置換法により求めた超濃厚 LiTFSA 水溶液の H-H, X-H および X-X (X: 水素以外の原子) の部分動径分布関数を示す。H-H 間の第一ピークは約 2.8 Å に現れ、純水の値 (2.37~2.44 Å) と比較して長く、最近接の水分子間の相互作用が弱いことが分かる。加えて、水素結合相互作用は  $r=1.81\sim 1.84$  Å に現れる O...H 分子間相互作用に起因するピークで特徴づけられる。しかしながら、 $g_{XH}(r)$  には最近接の水素結合相互作用に起因するピークが現れておらず、超濃厚 LiTFSA 水溶液では水素結合相互作用が非常に弱いことを示唆している。

### 3.2 超濃厚電解質溶液のスペシエーション分析

原子距離や原子配位数などの構造パラメーターを得ることはできないが、Raman 分光法は中性子回折法と比べて利点がある。その利点の一つとして、 $\text{Li}^+$  局所構造を定量的に解明することができる。規格化された  $\nu \text{ cm}^{-1}$  における Raman 散乱強度  $I(\nu)$  は、 $I(\nu) = J_1(\nu) \cdot c_1$  で表すことができ、ここで  $J_1(\nu)$  と  $c_1$  はそれぞれ Raman 散乱因子と濃度である。一方、物質収支式は  $c_{\text{total}} = \sum c_i$  であり、 $c_{\text{total}}$  は化学種  $i$  の全濃度を意味する。LiTFSA からなる水溶液中では、TFSA に帰属される Raman バンド強度のリチウム塩濃度依存性 ( $I(\nu)$  vs.  $c_{\text{total}}$  プロット) から三つの化学種があると仮定でき、この仮定の下、次のような簡単な式が得られる。

$$I(\nu) = J_1(\nu) \cdot c_1 + J_2(\nu) \cdot c_2 + J_3(\nu) \cdot c_3 \dots \dots \dots (1)$$

ここで、三つの化学種を便宜上 1~3 と定義している。詳細は割愛するが、 $I(\nu)$  vs.  $c_{\text{total}}$  プロットから  $J_1(\nu) \sim J_3(\nu)$  の初期値を推定することができる。 $J_i(\nu)$  の初期値を用いて単純な線形回帰分析で生成分布関数を得る。同様に生成分布関数は負の値を回避するために多項式を使用して適切に近似し、 $J_i(\nu)$  を再度求める。これら二つの線形回帰分析を相互に繰り返すと、最終的な  $J_i(\nu)$  および  $c_i$  を得ることができる。著者らのグループはこの

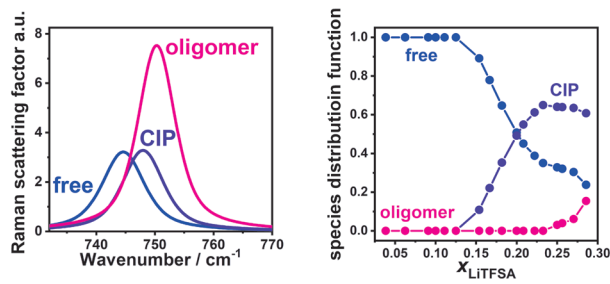


図4 Raman 散乱因子 (左) と LiTFSA のモル分率に対する生成分布関数 (右)

Raman 散乱因子と生成分布を求める手法を相補的最小自乗法と名付けた<sup>5)</sup>。図4に LiTFSA 水溶液の TFSA の Raman バンドに対して適用した結果を示す。超濃厚 LiTFSA 水溶液中 ( $x_{\text{LiTFSA}} > 0.25$ ) では、 $\text{Li}^+$  に直接配位した接触イオン対 (CIP) が多く存在することが分かる。さらに、Raman 散乱因子で最も高波数域に現れるピークは遊離や CIP よりも強度が大きく、複数の TFSA を含む凝集体 (オリゴマー) であることが分かった。このオリゴマーは塩濃度が超濃厚な領域で生成されていることが分かる。MD シミュレーションによる解析から、このオリゴマーは単座配位 TFSA と  $\text{Li}^+$  が複数会合した状態であることが分かった。

## 4 溶媒和イオン液体中の電極反応解析

渡邊らによって提案されたリチウム-グライム溶媒和イオン液体はリチウム-硫黄電池の電解液として有用であることが報告されている。負極にリチウム金属、正極活物質に硫黄を用いたリチウム-硫黄電池は硫黄の理論容量が  $1672 \text{ mAh g}^{-1}$  であり、従来のリチウムイオン電池正極の 10 倍以上の容量であることから、次世代蓄電池として盛んに研究がされている。しかしながら、硫黄が高抵抗であること、放電時に硫黄の還元中間体が電解液へ溶出するといった課題がある。これに対して、硫黄の還元中間体の溶解性が低いことから、リチウム-グライム溶媒和イオン液体を電解液に用いたリチウム-硫黄電池が提案された<sup>6)</sup>。駆動中の電池の内部状態を知ることが、その電池中の現象理解だけでなく、電池材料開発のための知見を得ることにもつながる。電池の内部状態を知るための有力な方法の一つとして電気化学インピーダンス法がある。

### 4.1 電気化学インピーダンス法

はじめに、電気化学インピーダンス法について簡単に触れておく。インピーダンス法は電気化学システムに微小交流信号を印加し、その応答信号を測定することでインピーダンスという伝達関数を求める方法である。入力信号が微小であることから非破壊で測定することができ、入力信号の周波数を変調することで、電極における

素反応を時定数ごとに分離することができるため、電極構造および電極反応の評価に使える。電気化学インピーダンス法を蓄電池の電極反応解析に適用するには、電極反応が因果性、線形性、不変性の3条件を満たす必要がある<sup>7)</sup>。因果性とは、時刻  $t$  における応答がその時刻以前のシステムへの入力信号により決定され、その時刻以降の入力信号には影響されないということである。線形性とは、入力信号に対して応答信号が線形応答であるということである。入力信号  $x_1(t)$  および  $x_2(t)$  に対するシステムの出力信号がそれぞれ  $y_1(t)$  および  $y_2(t)$  のとき、入力信号  $\{ax_1(t) + bx_2(t)\}$  に対する出力信号が  $\{ay_1(t) + by_2(t)\}$  となる。入力信号を電位信号とする場合、一般的に電位振幅を線形応答とみなせる5~10 mV程度に設定する。不変性とは系が時間変化しないことである。すなわち、電極が測定時間中において時間変化しないことを指す。実際の電気化学系では不変性は完全に満たされない場合が多い。蓄電池の充放電反応は定電流分極に相当する。その場合、充放電に伴い充電度(SOC)が変化するため不変性が満たされない。そこで、不変性を満たさないインピーダンスの補正法が必要となる。

インピーダンスの不変性を担保するための方法として1985年にStoynovら<sup>8)</sup>は不変性をもたないインピーダンスを3次元(実数軸, 虚数軸, 時間軸)でプロットすることで、ある瞬間のインピーダンスを決定する方法を提案した。得られたインピーダンススペクトルは、時間軸を含む三次元ナイキストプロット(インピーダンスの実部, 虚部および時間軸)をする。続いて、スペクトル上の同一周波数のプロットをスプライン関数により滑らかに結び、この三次元表示されたインピーダンスの立体をある時刻において時間軸に垂直な平面で断面をとる。結果として、時間変化を補正した瞬間のインピーダンスが決定できる。これより、時間変化する系についても、不変性を満たしたインピーダンスを決定することができる。蓄電池に定電流を印加し(充放電反応に相当する)、その直流入力信号に微小な交流電流振幅を重畳する。直流応答電圧は充放電曲線に対応し、応答交流電圧振幅を観測することでインピーダンスが得られる。得られたインピーダンスは前述の方法で補正することで、充放電中のある瞬間のインピーダンスが決定できる。このように充放電曲線とインピーダンスを同時に測定する方法を *in-situ* インピーダンス法と呼ぶ<sup>9)</sup>。

#### 4.2 溶媒和イオン液体を用いたリチウム-硫黄電池の放電反応挙動

溶媒和イオン液体を用いたリチウム-硫黄電池の *in-situ* インピーダンス測定で得られた放電曲線と各放電度(DOD)における瞬間のインピーダンスを図5に示す。リチウム-硫黄電池の放電曲線では2.3および2.1 Vに

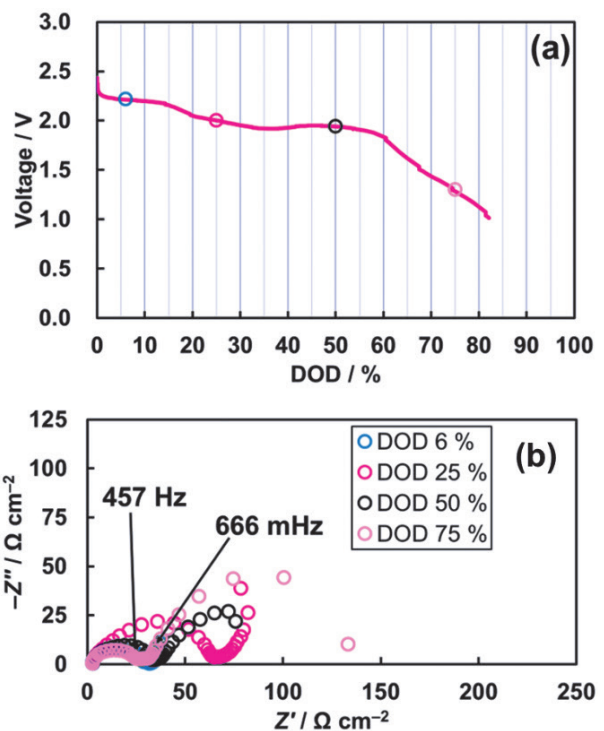


図5 溶媒和イオン液体を用いたリチウム-硫黄電池の充放電曲線 (a) と瞬間のインピーダンススペクトル (b)

電圧が一定となるプラトー領域が観測される。溶媒和イオン液体を用いたリチウム-硫黄電池でもプラトー領域が観測された。加えて、2.1 Vのプラトー領域において、DOD=35%で電圧がわずかに降下した。放電速度(C-rate)が遅い場合は、この2.1 Vのプラトー領域の電圧降下は観測されず、C-rateが速い場合に顕著に観測された。

充放電中の瞬間のインピーダンスでは非対称は半円が一つと直線の軌跡が観測され、放電が進むにつれて、457 Hz付近の半円が増大し、電圧降下が観測されたDOD=35%で半円の大きさが最大となった。詳細は割愛するが、457 Hz付近の半円は等価回路フィッティングより、負極の電荷移動抵抗に起因する半円だと帰属できた。放電中に負極の電荷移動抵抗が増大することにより、DOD=35%で電圧降下が起きたと考えられる。

G4の拡散速度よりもLiの電荷移動反応( $\text{Li} \rightarrow \text{Li}^+ + e^-$ )が速い場合、負極界面で $\text{Li}^+$ に配位するG4が不足することで、SILの溶媒和構造がCIPやオリゴマーへ変化し、粘度が上昇することが報告されている<sup>10)11)</sup>。したがって、粘度上昇と $\text{Li}^+$ に配位するG4の不足により、 $\text{Li}^+$ の溶出が抑制され、負極の電荷移動抵抗が増大し、電圧降下が生じることが示唆された。

## 5 おわりに

リチウムイオン電池はすでに理論限界に近づいており、電気自動車のさらなる普及のためには、次世代蓄電池の開発が急務である。イオン液体や超濃厚電解質溶液

は次世代蓄電池電解液として期待されており、電極/電解液界面での電荷移動反応は電池性能を支配する。加えて、ワルデン則やストークス則に従う希薄電解質溶液とは異なり、イオン液体や超濃厚電解質溶液中ではこれらの法則が成り立たない。したがって、イオン液体や超濃厚電解質溶液のスペシエーション分析や反応解析は、電解液中の現象解明のみならず学理構築にも不可欠である。一方で、車載用蓄電池の普及に伴い、実際使用している蓄電池を評価する技術が必要となってくる。電解液中の現象理解のための分析技術が、今後、蓄電池の診断技術として発展することに期待する。

謝辞 本研究の一部は、日本学術振興会科学研究費補助金「若手研究」(No. 22K14771)の支援によりなされたことを付記し、ここに謝意を表します。擬プロトン性イオン液体および超濃厚電解質溶液のスペシエーション分析でご指導・ご鞭撻いただいた梅林泰宏教授(新潟大学)、中性子・X線全散乱実験の測定および解析では亀田恭男教授(山形大)、*in-situ* インピーダンス測定で貴重なご助言をいただいた板垣昌幸教授・四反田功准教授(東京理科大学)には大変お世話になりました。この場をお借りして心よりお礼申し上げます。

#### 文 献

- 1) C. A. Angell, Y. Ansari, Z. Zhao : *Faraday Discuss*, **154**, 9 (2012).
- 2) L. Suo, O. Borodin, T. Gao, M. Olguin, J. Ho, X. Fan, C. Luo, C. Wang, K. Xu : *Science*, **350**, 938 (2015).

- 3) H. Doi, X. Song, B. Minofar, R. Kanzaki, T. Takamuku, Y. Umabayashi : *Chem. Eur. J.*, **19**, 11522 (2013).
- 4) H. Watanabe, N. Arai, J. Han, Y. Kawana, Y. Umabayashi : *J. Mol. Liq.*, **352**, 118705 (2022).
- 5) N. Arai, H. Watanabe, E. Nozaki, S. Seki, S. Tsuzuki, K. Ueno, K. Dokko, M. Watanabe, Y. Kameda, Y. Umabayashi : *J. Phys. Chem. Lett.*, **11**, 4517 (2020).
- 6) K. Dokko, N. Tachikawa, K. Yamaguchi, M. Tsuchiya, A. Yamazaki, E. Takashima, J. Park, K. Ueno, S. Seki, N. Serizawa, M. Watanabe : *J. Electrochem. Soc.*, **160**, A1304 (2013).
- 7) 板垣昌幸：“電気化学インピーダンス法”，第3版，(2022)，(丸善)。
- 8) Z. B. Stoyanov, B. S. Savova-Stoyanov, *J. Electroanal. Chem.*, **183**, 133 (1985).
- 9) M. Itagaki, N. Kobari, S. Yotsuda, K. Watanabe, S. Kinoshita, M. Ue : *J. Power Sources*, **135**, 255 (2004).
- 10) A. Miki, K. Nishikawa, G. Kamesui, H. Matsushima, M. Ueda, M. Rosso : *J. Mater. Chem. A*, **9**, 14700 (2021).
- 11) N. Serizawa, S. Seki, K. Takei, H. Miyashiro, K. Yoshida, K. Ueno, N. Tachikawa, K. Dokko, Y. Katayama, M. Watanabe, T. Miura : *J. Electrochem. Soc.*, **60**, A1529 (2013).



渡辺 日香里 (Hikari WATANABE)

東京理科大学理工学部先端化学科(〒278-8510 千葉県野田市山崎 2641)。新潟大学大学院自然科学研究科数理物質化学専攻(博士後期課程)修了。博士(理学)。

《現在の研究テーマ》次世代蓄電池用電解液の開発と電池の分析評価法の確立。《趣味》裁縫。

E-mail : h.watanabe@rs.tus.ac.jp

#### 原 稿 募 集

「技術紹介」の原稿を募集しています

対象：以下のような分析機器、分析手法に関する紹介・解説記事

- 1) 分析機器の特徴や性能および機器開発に関わる技術、2) 分析手法の特徴および手法開発に関わる技術、3) 分析機器および分析手法の応用例、4) 分析に必要な試薬や水および雰囲気などに関する情報・解説、5) 前処理や試料の取扱い等に関する情報・解説・注意事項、6) その他、分析機器の性能を十分に引き出すために有用な情報など

報など

新規性：本記事の内容に関しては、新規性は一切問いません。新規の装置や技術である必要はなく、既存の装置や技術に関わるもので構いません。また、社会的要求が高いテーマや関連技術については、データや知見の追加などにより繰り返し紹介していただいても構いません。

お問い合わせ先：

日本分析化学会『ぶんせき』編集委員会

[E-mail : bunseki@jsac.or.jp]